

پیش‌یابی کمیت‌های دما و بارش در دوره آماری ۲۰۲۱-۲۰۸۰ در استان هرمزگان جهت استخراج خشکسالی و ریزمقیاس نمایی آن توسط نرم‌افزار LARS-WG

محمد روح‌الله نژاد^۱، وحید سلامتی هرمزی^۲، راحله رمضانی^۳ و سکینه خان‌سالاری^{۴*}

۱. کارشناس، اداره هواشناسی استان هرمزگان، بندرعباس، ایران

۲. رئیس اداره شبکه دیدبانی و هشدار جوی، اداره هواشناسی استان هرمزگان، بندرعباس، ایران

۳. رئیس گروه تحقیقات هواشناسی کاربردی اداره هواشناسی استان هرمزگان، بندرعباس، ایران

۴. استادیار، پژوهشگاه هواشناسی و علوم جو، تهران، ایران

(دریافت: ۱۴۰۰/۹/۳، پذیرش نهایی: ۱۴۰۱/۷/۱۲)

چکیده

در این پژوهش از روش‌های ریزمقیاس‌نمایی آماری به منظور پیش‌یابی و شبیه‌سازی کمیت‌های اقلیمی برای تعیین شاخص‌های خشکسالی اقلیم آینده استان هرمزگان با استفاده از پنج مدل گردش عمومی جو شامل مدل‌های HadGEM2-ES، CanESM2 و RCP8.5، MPI-ESM-MR و MIROC5، GFDL-CM3، RCP4.5 و RCP2.6 با سناریوهای RCP8.5 و RCP4.5 استفاده شد. قابلیت ریزمقیاس‌نمایی با استفاده از LARS-WG6 در سه دوره آماری ۲۰۴۱-۲۰۴۰، ۲۰۶۰-۲۰۵۱ و ۲۰۸۰-۲۰۶۱ ارزیابی شد. ارزیابی شبیه‌سازی دمای شاخص‌های ضریب تعیین، میانگین مربعات خطأ (RMSE) و محدود مربعات خطأ (MSE) ارزیابی شد. در کلاس ارزیابی بسیار مناسب تا مناسب و شبیه‌سازی بارش در کلاس ارزیابی کمینه و بیشینه توسط مدل‌های LARS-WG6 ارزیابی شد. ارزیابی شبیه‌سازی دمای و بیشینه توسط مدل‌های LARS-WG6 در تمام دوره‌ها حاکی از افزایش دماهای کمینه و بیشینه در تمام این مدل‌ها در سناریوهای مختلف اقلیمی در دوره‌های آینده است، و هرچه از دوره پایه فاصله بگیریم، میزان افزایش دما افزایش می‌یابد. میزان افزایش در دمای کمینه در اکثر مدل‌ها نسبت به دمای بیشینه در طی ۲۰ تا ۸۰ سال آینده بیشتر بوده و بیانگر آن است که افزایش در دمای استان هرمزگان بیشتر متأثر از افزایش در دمای کمینه می‌باشد. اغلب مدل‌ها افزایش میزان بارندگی در هر سه دوره را نشان می‌دهند به گونه‌ای که میانگین تمام مدل‌ها در هر یک از سه سناریو افزایش بارندگی به‌ویژه در شرق و شمال استان هرمزگان (مناطق مرتفع) را بیش‌بینی می‌کنند. در اکثر استگاه‌های هواشناسی استان هرمزگان بیشترین افزایش بارندگی در مدل CanESM2 با سناریو RCP8.5 و در دوره ۲۰۸۰-۲۰۶۱ پیش‌بینی شده است.

واژه‌های کلیدی: خشکسالی، سناریوهای اقلیمی، نرم‌افزار LARS-WG6، استان هرمزگان، مدل گردش عمومی جو.

۱. مقدمه

به کارگیری یک سری نرم‌افزارهای آماری از جمله LARS-WG و یا مدل‌های دینامیکی برای ابعاد کوچک‌تر ریزمقیاس‌نمایی کرد. این پیش‌یابی‌های اقلیمی بر مبنای تغییرات انتشار و غلظت گازهای گلخانه‌ای و دیگر آلاینده‌های جوی (دی‌اکسید سولفور و...) با توجه به فرضیات اجتماعی و اقتصادی و گسترش و توسعه فناوری آینده می‌باشند. در پژوهش‌های اقلیمی، خشکسالی یکی از موضوعاتی است که به‌طور گسترده مورد بررسی قرار گرفته است؛ زیرا خشکسالی به‌طور مستقیم جوامع را از طریق تغییرات در فراوانی یا قابلیت دسترسی به مواد غذایی، منابع آب و ذخایر انرژی تحت تأثیر قرار می‌دهد

علت اصلی تغییرات اقلیمی، انتشار بیش از حد گازهای گلخانه‌ای در جو است که خود باعث به وجود آمدن بسیاری از مشکلات کنونی مانند گرم شدن هوا، بالا آمدن سطح آب دریاها و رخداد رگبارهای سیل آسا در بعضی از مناطق زمین است. هر مدل اقلیمی تلاش می‌کند تا با استفاده از یکسری از سناریوهای تعریف شده، فرایندهایی که روی اقلیم تأثیر می‌گذارند را شبیه‌سازی کرده و بر اساس آن برای سال‌های آینده پیش‌بینی دهد. یک نقص موجود در مدل‌های مذکور آن است که این مدل‌ها برای مقیاس‌های خیلی بزرگ خروجی ایجاد می‌کنند. برای رفع این اشکال می‌توان خروجی این مدل‌ها را با

استفاده از داده‌های روزانه بارندگی، دمای کمینه و بیشینه و ساعت آفتابی مورد بررسی قرار گرفت. ایشان از مدل Lars-WG برای شبیه‌سازی متغیرهای هواشناسی و از معادلات رگرسیون چندمتغیره جهت پیش‌بینی میزان عملکرد برنج استفاده کرد. نتایج پژوهش نشان داد نوسانات هر یک از متغیرهای دمای بیشینه سپتامبر، دمای کمینه ماه مه، ساعت آفتابی اوت و حداکثر دمای سپتامبر موجب نوسان در میزان عملکرد محصول برنج خواهد شد. تابان و همکاران (۱۳۹۷) پس از بررسی وضعیت بارش و رواناب مشاهداتی در حوضه ذر علیا محدوده تغییرات بازش منطقه در دوره ۲۰۶۹-۲۰۴۰ تحت عدم قطعیت‌های مختلف را بررسی کردند. نتایج این پژوهش نشان داد عدم قطعیت مدل‌های اقلیمی بیشتر از عدم قطعیت سناریوهای انتشار و عدم قطعیت سناریوهای انتشار بیشتر از عدم قطعیت روش‌های ریزمقیاس نمایی است. محمد زاده و همکاران (۲۰۱۹) باهدف ارزیابی تأثیر تغییرات آب‌وهوای بر منابع آب سطحی، از یک مدل رواناب باران مفهومی جفت شده با مدل LARS-WG در حوضه آبریز واقع در جنوب دریای خزر استفاده کردند. نتایج نشان داد که این مدل از قابلیت پیش‌بینی معقول در شبیه‌سازی کمینه و بیشینه دما در سطح ۹۹ درصد، بارندگی در سطح ۹۳ درصد و تابش در سطح ۹۷ درصد در سناریوهای مختلف با توافق با داده‌های مشاهده شده برخوردار است. بیات ورکشی و همکاران (۲۰۲۰) در پژوهشی بررسی تأثیر تغییرات آب‌وهوایی بر تبخیر و تعرق مرجع با استفاده از LARS-WG و HadCM3 این مطالعه تأثیر تغییرات آب‌وهوایی بر تبخیر و تعرق مرجع، که یکی از مهم‌ترین متغیرها در مدیریت منابع آب و برنامه‌ریزی آبیاری است، بررسی شده است. نتایج نشان داد که تبخیر و تعرق مرجع تقریباً در کلیه ایستگاه‌های تحت سه سناریو افزایش می‌یابد. جهانگیر و همکاران (۱۳۹۹) در مطالعه خود به پیش‌بینی وضعیت خشکسالی برای دوره‌های آینده با استفاده از مدل LARS-WG در ایستگاه شیراز پرداختند. در این شبیه‌سازی ایشان از

(کریمی و همکاران، ۱۳۹۰). در حال حاضر شاخص SPI (Standardized Precipitation Index) به طور گستره‌های در امور تحقیقاتی و اجرایی در سراسر جهان، به‌منظور پایش خشکسالی استفاده می‌شود. مسئله خشکسالی به عنوان مهم‌ترین پدیده اقلیمی، از معضلات محیطی در اغلب کشورهای جهان و همچنین کشور ایران است. بخش‌های وسیعی از ایران از جمله بخش جنوبی به‌علت واقع شدن در قلمرو اقلیمی خشک و نیمه‌خشک، همواره با کمبود بارش و منابع آبی مواجه هستند. از مهم‌ترین ویژگی‌های این نواحی تغییرات شدید در میزان بارش و قوع خشکسالی و ترسالی آن است. با توجه به این که پژوهش جامعی در این ناحیه از کشور انجام نگرفته است، هدف از این پژوهش مطالعه اثرات تغییر اقلیم دوره‌های آینده با استفاده از مدل LARS-WG در پیش‌بایی تغییرات روند دما و بارش و تعیین شاخص‌های خشکسالی اقلیم آینده در استان هرمزگان است.

در طی سال‌های گذشته پژوهش‌های زیادی برای پیش‌بایی و شبیه‌سازی متغیرهای اقلیمی توسط پژوهشگران داخلی و خارجی صورت گرفته است. این پژوهشگران از مدل‌های ریزمقیاس نمایی دینامیکی و یا آماری مختلف برای رسیدن به این هدف استفاده کرده‌اند. صبوحی و همکاران (۱۳۹۸) جهت تحلیل روند متغیرهای اقلیمی گذشته و پیش‌بینی متغیرهای بارش، میانگین دمای کمینه و بیشینه، به ترتیب از آزمون ناپارامتریک من کنداول و مدل گردش عمومی جو (HadCM3) استفاده کردند. به این منظور، داده‌های خروجی مدل گردش عمومی جو HadCM3 را با سه سناریو تغییر اقلیم و با استفاده از مدل LARS-WG در منطقه سمیرم ریزمقیاس کردند. نتایج این پژوهش نشان داد که متغیرهای مورد بررسی در طول قرن ۲۱ عموماً با هر سه سناریو افزایش می‌یابند. همچنین رمضانی‌پور (۱۳۹۷) در مطالعه خود به پیش‌بینی اثر تغییر آب‌وهوایی بر شاخص‌های اقلیم-کشاورزی و عملکرد برنج در مناطق شمال ایران پرداخت. در این پژوهش میزان عملکرد محصول برنج در بازه زمانی ۲۰۱۰-۲۰۳۹ با

ارزیابی قابلیت اطمینان و یا عدم قطعیت عملکرد محصول ذرت شیوه‌سازی شده برای آینده نزدیک در دهه ۲۰۵۰ در کوه ماکولو در زامبیا پرداختند. مدل مولد آب‌وهوایی (LARS-WG) برای تولید سناریوهای دوره پایه (۱۹۸۰ تا ۲۰۱۰) و دوره آینده (۲۰۶۰ تا ۲۰۹۰) برای دو سناریوی انتشار (RCP 4.5 و RCP 8.5) مورد استفاده قرار گرفت. نتایج نشان داد که میانگین دما نسبت به دوره پایه ۲/۰۹ درجه سلسیوس (RCP 4.5) و ۲/۵۶ درجه سلسیوس (RCP 8.5) افزایش می‌یابد. با این حال، میزان بارندگی (RCP 8.5) درصد ۹/۸۴ (RCP 4.5) و ۱۱/۸۲ درصد (RCP 4.5) کاهش می‌یابد. یکی از مهم‌ترین پدیده‌های جوی که بر منابع آب هر منطقه تأثیر منفی می‌گذارد و محیط‌های وابسته به این منابع را تحت تأثیر قرار می‌دهد پدیده خشکسالی است. پدیده خشکسالی در استان هرمزگان به دلیل موقعیت خاصی که استان هرمزگان در زمینه‌های مختلف اعمانز سرمایه‌گذاری‌های کلان اقتصادی نظیر پالایشگاه‌ها، اسکله‌های مهم تجاری، فعالیت‌های مهم و عظیم نفت و گاز و صنایع انرژی و همچنین ویژگی‌ها و موقعیت ویژه جغرافیایی، نظامی مانند نزدیکی به آبراه بین‌المللی تنگه هرمز، برنامه‌ریزی آمایش استان و حتی کشور را به شدت تحت تأثیر خود قرار می‌دهد. بنابراین هدف از این پژوهش مطالعه اثرات تغییر اقلیم دوره‌های آتی در پیش‌بینی تغییرات روند دما و بارش و LARS-WG خشکسالی استان هرمزگان با استفاده از مدل WG می‌باشد.

۲. داده‌ها و روش پژوهش

۲-۱. منطقه مورد مطالعه

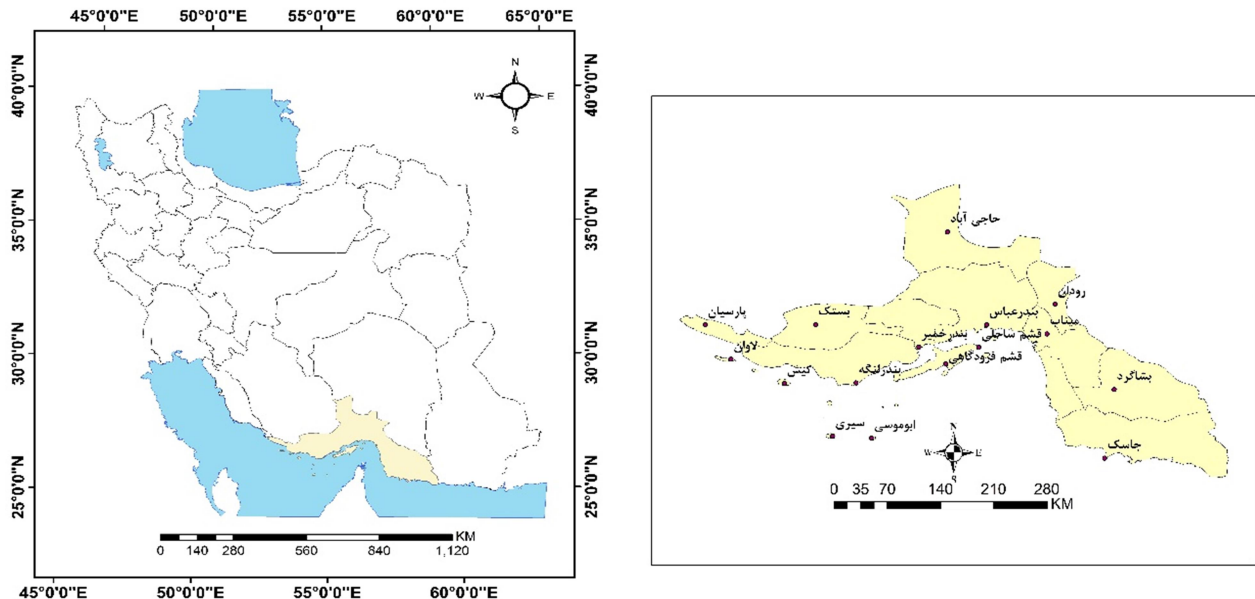
استان هرمزگان با وسعت ۶۸۴۷۵/۸ کیلومترمربع، در جنوب ایران در محدوده جغرافیایی ۲۵ درجه و ۲۳ دقیقه تا ۲۸ درجه و ۵۷ دقیقه عرض شمالی، و ۵۲ درجه و ۴۱ دقیقه تا ۵۹ درجه و ۱۵ دقیقه طول شرقی از نصف‌النهار گرینویچ واقع شده است. منطقه مورد بررسی شامل، ۱۶ ایستگاه هواشناسی همدیدی استان هرمزگان است که در

داده‌های مدل HADCM3 تحت دو سناریو استفاده کردند. نتایج این تحقیق نشان داد مدل با دقت بالایی قادر به شیوه‌سازی متغیرهای دمای بیشینه، دمای کمینه و تابش بوده، اما در شیوه‌سازی متغیر بارش نسبت به دیگر متغیرها خطای بیشتری را نشان داد.

والام و کیوین (۲۰۱۸) پیش‌بینی بارش و درجه حرارت آینده در مکان‌های دارای آب‌وهوای متنوع از طریق چندین طرح ریزمقیاس‌نمایی آماری بررسی کردند. نتایج مطالعه نشان داد که مناطقی که بارندگی شدید دارند با احتمال زیاد اختلاف بین پیش‌بینی‌ها در روش‌های مختلف مقیاس نمایی آماری را نشان می‌دهند. همچنین، واریانس محاسبه شده در پیش‌بایی کمیت‌های هواشناسی، عدم اطمینان حاصل از انتخاب ابزارهای ریزمقیاس نمایی و مدل‌های اقلیمی را نشان داد. این مطالعه می‌تواند به درک بهتر در مورد ویژگی‌های رویکردهای مختلف ریزمقیاس نمایی و عدم اطمینان کلی ریزمقیاس نمایی کمک کند. همچنین شا و همکاران (۲۰۱۹) در مقاله‌ای با عنوان برآورد تغییرات آب‌وهوایی آینده در مناطقی با آب‌وهوای سرد با مدل LARS-WG تحت سناریوهای CMIP5، به مطالعه‌ی یک رویکرد جدید برای استفاده از مدل مولد اقلیم (LARS-WG) با استفاده از سناریوهای انتشار پروژه فاز ۵ (CMIP5) پرداختند و هدف آنها از این آزمایش، کاربرد این مدل در مناطق سرد و ارزیابی واکنش دما و میزان بارندگی، با توجه به روند پیش‌بینی شده‌ی آب‌وهوای گرم‌تر در آینده بود. نتایج نشان داد که از سناریوهای CMIP5 می‌توان با موفقیت در یک مدل LARS-WG استفاده کرد و این مدل در شرایط آب‌وهوای سرد عملکرد خوبی دارد. شاگگا و همکاران (۲۰۱۹) در حوضه‌ای در تانزانیا با کاربست مدل LARS-WG میزان بارش در آینده را بررسی کردند. بر اساس نتایج این مطالعه پیش‌بینی می‌شود میزان بارندگی‌های آینده ۱۲ تا ۳۷ درصد در ماه آوریل، مه، ژوئن و ژوئیه کاهش و در ماه‌های باقی‌مانده ۵۸-۵ درصد افزایش یابد. چالز چیسانگا و همکاران (۲۰۲۰) در مطالعه‌ای به بررسی

خشک، بیشینه و کمینه و میانگین بارندگی سالانه در جدول ۱ ارائه شده است.

شکل ۱ مشخص شده‌اند. همچنین مشخصات ایستگاه‌های هواشناسی استان هرمزگان شامل میانگین‌های دمای



شکل ۱. موقعیت جغرافیایی منطقه مورد مطالعه.

جدول ۱. مشخصات کمیت‌های اقلیمی ایستگاه‌های همدیدی استان هرمزگان (از زمان تأسیس ایستگاه تا سال ۲۰۲۰).

ایستگاه	میانگین دمای بیشینه (درجه سلسیوس)	میانگین دمای کمینه (درجه سلسیوس)	میانگین بارندگی سالیانه (میلی‌متر)
جاسک	۲۹/۹	۲۴/۶	۱۱۷/۰
بشاگرد	۳۳/۳	۱۹/۴	۲۲۶/۷
رودان	۳۴/۹	۲۳/۰	۲۴۰/۷
میناب	۳۴/۰	۲۱/۱	۲۰۵/۴
بندرعباس	۳۲/۳	۲۱/۹	۱۶۶/۴
قشم ساحلی	۳۱/۵	۲۴/۴	۱۳۷/۹
قشم فرودگاهی	۳۲/۰	۲۲/۲	۱۳۰/۹
حاجی‌آباد	۳۱/۶	۱۴/۸	۱۹۸/۵
بندر خمیر	۳۴/۲	۲۳/۹	۱۳۹/۶
ابوموسی	۳۰/۶	۲۴/۷	۱۱۷/۷
بندرلنگه	۳۱/۳	۲۲/۴	۱۲۲/۲
سیری	۳۰/۵	۲۵/۲	۱۰۵/۹
بستک	۳۵/۴	۱۸/۹	۲۶۸/۵
کیش	۳۱/۴	۲۳/۲	۱۶۰/۴
لوان	۳۱/۴	۲۳/۹	۱۵۶/۵
پارسیان	۳۴/۷	۲۱/۲	۲۰۴/۳

ارزیابی‌های محیطی هلند طراحی شده است. این سناریو در برگیرنده کمترین نرخ افزایش گازهای گلخانه‌ای و واداشت تابشی ناشی از آن است. مطابق این سناریو واداشت تابشی در اواسط این قرن به حدود ۳/۱ رسیده و سپس کاهش یافته و به ۲/۶ وات بر مترمربع در سال ۲۱۰۰ می‌رسد. برای رسیدن به این سطح واداشت تابشی بایستی گازهای گلخانه‌ای به میزان قابل توجی کاهش یابند. سناریوی RCP4.5 توسط گروه مدل‌سازی MiniCAM طراحی شده است و در آن واداشت تابشی ناشی از گازهای گلخانه‌ای قبل از سال ۲۱۰۰ در مقدار ۴/۵ وات بر مترمربع ثابت می‌ماند. سناریوی انتشار RCP6.0 توسط گروه مدل‌سازی AIM در مؤسسه ملی مطالعات محیطی ژاپن طراحی شد. در این سناریو واداشت تابشی بعد از سال ۲۱۰۰ به دلیل استفاده از فناوری‌های جدید و سیاست‌های کاهش گازهای گلخانه‌ای ثابت می‌ماند. همچنین بدون اتخاذ هیچ گونه سیاست‌های کاهش آثار و مقابله با پیامدهای اقلیم، آب و هوای کره زمین در خط سیر سناریوی انتشار RCP8.5 پیش خواهد رفت. به طوری که ادامه این روند منجر به واداشت تابشی به میزان ۸/۵ وات بر متر مربع در سال ۲۱۰۰ می‌شود. در این هنگام غلظت دی‌اکسیدکربن به ۱۰۰۰ ppm رسیده و همچنان روند افزایش خواهد داشت. این سناریو توسط تیم مدل‌سازی MESSAGE و مؤسسه IIASA به سرپرستی پروفسور کیوان ریاحی در مؤسسه بین‌المللی آنالیز سیستم‌های کاربردی IIASA اتریش توسعه و طراحی شد که وجه مشخصه آن روند افزایش گازهای گلخانه‌ای است. مطابق جدول ۲، در این تحقیق پیش‌بینی پارامترهای اقلیمی بر اساس ۳ سناریو RCP2.6، RCP4.5 و RCP8.5 از ۴ سناریو انتشار گازهای گلخانه‌ای انجام گرفته است.

۲-۲. داده‌ها

در این پژوهش ابتدا داده‌های دمای کمینه، دمای بیشینه، بارندگی و ساعت آفتابی ایستگاه‌های همدیدی استان هرمزگان برای بررسی تغییر اقلیم طی دوره زمانی ۲۰۱۷-۱۹۹۲ از سازمان هواشناسی کشور اخذ شد. سپس، شرط همگنی داده‌ها با روش کولموگروف-اسمیرنف در این ایستگاه‌ها بررسی شد. برای پیش‌بایی و بررسی بارش و خشکسالی استان هرمزگان طی دوره‌های آینده (دوره زمانی ۲۰۴۰-۲۰۲۱، ۲۰۶۰-۲۰۴۱ و ۲۰۸۰-۲۰۶۱) ۵ مدل گردش عمومی جو شامل مدل‌های HadGEM2-ES، GFDL-CM3، MPI-ESM-MR، CanESM2 و RCP8.5 با سناریو MIROC5 RCP4.5، RCP2.6 و LARS-WG6 به کار گرفته شد که مراحل قابل دسترس در این پژوهش به شرح زیر است:

۲-۳. روش پژوهش

نسل جدیدی از مدل‌های گردش عمومی که در تهیه گزارش ارزیابی پنجم هیئت بین‌الدول تغییر اقلیم استفاده شد، تحت عنوان «پروژه درون مقایسه‌ای مدل‌های CMIP5 (Coupled Model Intercomparison Phase)» شناخته شده است. هیئت بین‌الدول تغییر اقلیم در تدوین گزارش پنجم ارزیابی خود AR5 (Assessment Report 5) از سناریوهای جدید RCP به عنوان نماینده‌های خطوط سیر غلظت‌های گوناگون گازهای گلخانه‌ای استفاده کرده است. سناریوهای جدید انتشار دارای چهار خط سیر کلیدی با نام‌های RCP2.6، RCP4.5، RCP6.0 و RCP8.5 می‌باشند که بر اساس میزان واداشت تابشی آنها در سال ۲۱۰۰ نام‌گذاری شده‌اند. سناریوی انتشار RCP2.6 توسط تیم مدل‌سازی IMAGE از مؤسسه

جدول ۲. نمای کلی نماینده‌های خطوط سیر غلظت‌های گوناگون

سناریو	وادashت تابشی (وات بر متر مکعب)	غلظت دی‌اکسیدکربن (قسمت در میلیون)	حالات
RCP2.6	حداکثر مقدار آن ۳ وات بر مترمربع و سپس کاهش می‌یابد	ppm ۴۹۰ قبل از سال ۲۱۰۰ و سپس کاهش می‌یابد	خوش‌بینانه
RCP4.5	۴/۰ وات بر مترمربع و بعد از سال ۲۱۰۰ ثابت می‌ماند	ppm ۶۵۰ و بعد از سال ۲۱۰۰ ثابت می‌ماند	متوسط تا خوش‌بینانه
RCP6.0	۵/۶ وات بر مترمربع و بعد از سال ۲۱۰۰ ثابت می‌ماند	ppm ۸۵۰ و بعد از سال ۲۱۰۰ ثابت می‌ماند	متوسط تا بد‌بینانه
RCP8.5	بیشتر از ۸/۵ وات بر مترمربع در سال ۲۱۰۰	ppm ۱۳۷۰ سال تا ۲۱۰۰	بد‌بینانه

میانگین، انحراف معیار آنها را مطابق رابطه ۲ تغییر می‌دهد (کریمی و نبی‌زاده، ۲۰۱۸).

$$F_{fut} = \frac{STD_{obs}}{STD_{base(GCM)}} * STD_{fut(GCM)} \quad (2)$$

همچنین، بهمنظور ارزیابی قابلیت این مدل از معیارهای آماری ضریب تعیین R^2 ، میانگین مربعات خطای (MSE)، مجدور مربعات خطای (RMSE) و انحراف مطلق متوسط (MAD) استفاده می‌شود (روابط ۳ تا ۶).

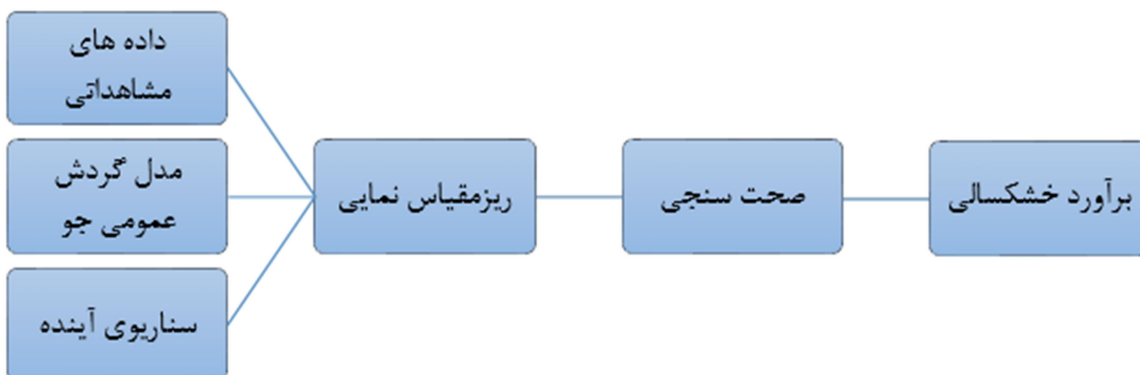
$$R^2 = \left(\frac{\sum_{t=1}^T (A_{obs,t} - \bar{A}_{obs}) * (F_{model,t} - \bar{F}_{model}))}{[\sum_{t=1}^T (A_{obs,t} - \bar{A}_{obs})^2]^{0.5} * [\sum_{t=1}^T (F_{model,t} - \bar{F}_{model})^2]^{0.5}} \right)^2 \quad (3)$$

$$MSE = \frac{\sum_{t=1}^n (A_t - F_t)^2}{n} \quad (4)$$

$$RMSE = \sqrt{\frac{\sum_{t=1}^n (A_t - F_t)^2}{n}} \quad (5)$$

$$MAD = \frac{\sum_{t=1}^n |A_t - F_t|}{n} \quad (6)$$

که در آن A_t مقادیر مشاهده شده، F_t مقادیر پیش‌بینی شده و n تعداد داده‌ها هست. مراحل انجام این پژوهش در شکل ۲ به صورت خلاصه نشان داده شده است. جدول ۳ مشخصات ۵ مدل گردش کلی جو به کار رفته در این پژوهش را نشان می‌دهد. این مشخصات شامل مؤسسه و کشور مسئول، نوع مدل و قدرت تفکیک افقی و قائم و تعداد ترازهای قائم مدل می‌باشد. اطلاعات کامل تر در مورد هر مدل در مرجع ارائه شده در جدول قابل بررسی و مطالعه است.



شکل ۲. مراحل ریزمقیاس‌سازی پارامتر بارش و دما در نرم‌افزار LARS-WG 6 در بررسی روند خشکسالی استان هرمزگان در دوره‌های آینده.

با توجه به بزرگ‌مقیاس بودن مدل‌های گردش عمومی جو، یکی از راهکارهای فائق آمدن بر نقیصه فضایی کم این مدل‌ها، استفاده از ریزمقیاس نمایی آماری است. از جمله این نرم‌افزارها LARS-WG است که برای ریزمقیاس نمایی از روش آماری استفاده می‌کند (بابایی و همکاران، ۲۰۱۴). این نرم‌افزار قادر است داده‌های بارش (میلی‌متر)، دمای کمینه و بیشینه (درجه سلسیوس) و تابش خورشیدی (مگاژول بر مترمربع در روز) را برای شرایط حاضر و آینده پیش‌بینی کند. مبنای آن برای مدل‌سازی طول دوره‌های خشک و تر، بارش روزانه و سری‌های تابش، توزیع نیمه تجربی است. سری‌های فوريه، دما را تخمین می‌زنند. دمای کمینه و بیشینه روزانه به صورت فرایندی تصادفی با میانگین و انحراف معیارهای روزانه که وابسته به وضعیت تر یا خشک بودن روز مدنظر هستند، مدل‌سازی می‌شوند. سری فوريه مرتبه سوم برای شبیه‌سازی میانگین و انحراف معیار دمای فصلی به کار می‌رود. مقادیر مانده‌ها که از تفریق مقادیر میانگین از مقدار دیده‌بانی شده به دست می‌آیند، در تحلیل خودهمبستگی زمانی داده‌های کمینه و بیشینه استفاده می‌شوند. سازوکار عمل به این صورت است که ابتدا با استفاده از تولید داده ماهانه که دربرگیرنده رفتار اقلیم پایه است، تمامی داده‌های ماهانه را مطابق رابطه ۱ محاسبه می‌کند:

$$F_{fut} = F_{obs} + (F_{fut(GCM)} + F_{base(GCM)}) \quad (1)$$

که در آن، F_{obs} آینده و F_{fut} گذشته است. سپس با حفظ

جدول ۳. مشخصات ۵ مدل گردش کلی جو.

مرجع	تفکیک افقی (بر حسب درجه) و تعداد ترازها	نوع	موسسه سازنده	مدل
آرورا و همکاران (۲۰۱۱)	۲۵ و ۲۱×۲/۸۱ تراز	ESM	CCCMA, Canada	CanESM2
کالینز و همکاران (۲۰۱۱)	۶۰ و ۱/۸۷۵×۱/۲۵ تراز	ChemESM	MOHC, UK	HadGEM2-ES
زانچتین و همکاران (۲۰۱۳)	۹۵ و ۱/۸۷۵×۱/۸۷۵ تراز	ESM	MPI-M, Germany	MPI-ESM-MR
دانر و همکاران (۲۰۱۱)	۴۸ و ۲/۵×۲ تراز	AOGCM	NOAA GFDL, USA	GFDL-CM3
واتانا به و همکاران (۲۰۱۰)	۴۰ و ۱/۴۱×۱/۴۱ تراز	AOGCM	MIROC, Japan	MIROC5

مقادیر جدول بیشترین ضریب تعیین و کمترین خطای به ترتیب مربوط به کمیت‌های دمای کمینه، دمای بیشینه و بارش است. این مقادیر نشان می‌دهد که در دوره مذکور مقادیر شبیه‌سازی به داده‌های واقعی نزدیک بوده و کیفیت قابل قبولی دارد. کمیت‌های دمای کمینه و بیشینه در ایستگاه‌های ابوموسی و بندرعباس با کمترین خطای بیشترین همبستگی و همچنین کمیت بارش در ایستگاه‌های بندرلنگه و سیری با کمترین خطای ارزیابی شده‌اند.

۲-۳. کمیت‌های اقلیمی ایستگاه‌های استان هرمزگان

حاصل از مدل در سناریوهای مختلف اقلیمی و مقایسه

آن با دوره پایه (داده‌های مشاهداتی)

در جدول ۶، داده‌های مشاهداتی ایستگاه‌های هواشناسی همدیدی مورد بررسی استان هرمزگان استخراج شده است. در بخش بعدی نتایج خروجی مدل‌های گزارش پنجم در دوره‌های مختلف ۲۰۲۱-۲۰۴۰، ۲۰۴۱-۲۰۶۰، RCP2.6، RCP4.5 و RCP8.5 با استفاده از سناریوهای اقلیمی ۲۰۶۱-۲۰۸۱ با مقایسه با دوره پایه به تفکیک هر ایستگاه مورد مقایسه قرار گرفته است.

جهت تعیین شاخص خشکسالی از روش شاخص بارش استاندارد شده (SPI) استفاده می‌شود. شاخص بارش استاندارد شده از تقسیم اختلاف بین مقادیر بارش و میانگین آن برای هر بازه زمانی بر انحراف معیار بارش به دست می‌آید (جوانمرد و آسیایی، ۱۳۸۲). به منظور تفسیر و بررسی نتایج حاصل از این محاسبه از جدول ۴ استفاده شده است. مقادیر مثبت بارندگی بالاتر از میانه و مقادیر منفی بارندگی پایین تر از میانه را نشان می‌دهد.

۳. نتایج و بحث

۳-۱. ارزیابی مدل‌های گزارش پنجم

در جدول ۵ نتایج ارزیابی خروجی نرمافزار LARS-WG در مقایسه با مقادیر دیدبانی شده ارائه شده است. بدین منظور با استفاده از آزمون‌های آماری میانگین مربعات خطای (MSE)، محدود مربعات خطای (RMSE) و ضریب تعیین (R^2) مقادیر اقلیمی دمای کمینه، دمای بیشینه و بارش ایستگاه‌های همدیدی استان هرمزگان از زمان تاسیس ایستگاه تا سال ۲۰۲۰ بررسی شد. با توجه به

جدول ۴. توصیف وضعیت خشکسالی و طبقات شاخص SPI (کمالی و همکاران، ۱۳۸۸).

طبقات شاخص SPI	توصیف خشکسالی
- کمتر از -۲	خشکسالی بسیار شدید
-۱/۹۹ تا -۱/۵	خشکسالی شدید
-۱ تا -۱/۴۹	خشکسالی متوسط
۰/۹۹ تا -۰/۹۹	خشکسالی نرمال
۱ تا ۱/۴۹	ترسالی متوسط
۱/۹۹ تا ۱/۵	ترسالی مرطوب
۲ و بیشتر	ترسالی بسیار شدید

جدول ۵. ارزیابی خروجی مدل LARS-WG در ایستگاه‌های استان هرمزگان در مقایسه با مقادیر دیدبانی.

بارش			دما کمینه			دما بیشینه			ایستگاه
R ²	MAE	RMSE	R ²	MAE	RMSE	R ²	MAE	RMSE	
۰/۸۹۳	۲/۴	۴	۰/۹۹۹	۰/۱	۰/۲	۰/۹۹۹	۰/۱	۰/۲	جاسک
۰/۸۷۲	۳/۴	۵/۵	۰/۹۹۹	۰/۲	۰/۲	۰/۹۹۸	۰/۳	۰/۴	بشاگرد
۰/۹۹۷	۴/۶	۷/۴	۰/۹۹۹	۰/۲	۰/۲	۰/۹۹۹	۰/۲	۰/۳	رودان
۰/۹۳۳	۳/۹	۵/۵	۰/۹۹۹	۰/۱	۰/۲	۰/۹۹۹	۰/۲	۰/۲	میناب
۰/۹۴۱	۲/۲	۴/۱	۱	۰/۱	۰/۱	۱	۰/۱	۰/۱	بندر عباس
۰/۹۲۸	۲/۷	۴/۵	۰/۹۹۹	۰/۲	۰/۲	۰/۹۹۹	۰/۱	۰/۲	قشم ساحلی
۰/۹۷۸	۱/۷	۳/۳	۰/۹۹۹	۰/۱	۰/۱	۱	۰/۱	۰/۱	قشم فرودگاهی
۰/۸۸۵	۴/۲	۵/۷	۰/۹۹۹	۰/۲	۰/۳	۱	۰/۱	۰/۲	حاجی آباد
۰/۷۲۳	۴/۹	۶/۷	۰/۹۹۹	۰/۲	۰/۲	۰/۹۹۹	۰/۲	۰/۲	بندر خمیر
۰/۸۸	۳	۴/۳	۱	۰/۱	۰/۱	۰/۹۹۹	۰/۱	۰/۲	ابوالموسى
۰/۹۶۶	۱/۶	۲/۴	۰/۹۹۹	۰/۱	۰/۲	۰/۹۹۹	۰/۱	۰/۲	بندر لنگه
۰/۹۵۸	۱/۵	۲/۸	۰/۹۹۹	۰/۱	۰/۱	۰/۹۹۹	۰/۱	۰/۱	سیری
۰/۹۶۲	۳/۸	۵/۸	۰/۹۹۹	۰/۲	۰/۳	۰/۹۹۸	۰/۳	۰/۴	بستک
۰/۹۱۹	۲/۸	۳/۴	۰/۹۹۹	۰/۱	۰/۱	۰/۹۹۹	۰/۲	۰/۲	کیش
۰/۹۵۴	۲/۵	۳/۹	۰/۹۹۹	۰/۱	۰/۱	۰/۹۹۹	۰/۱	۰/۲	لارستان
۰/۹۵۴	۲/۶	۴/۹	۰/۹۹۹	۰/۲	۰/۲	۰/۹۹۹	۰/۲	۰/۲	پارسیان

جدول ۶. داده‌های مشاهداتی ایستگاه‌های همدیدی مورد بررسی استان هرمزگان.

میانگین بارش سالانه (میلی‌متر)	میانگین دما کمینه (درجه سلسیوس)	میانگین دما بیشینه مشاهداتی (درجه سلسیوس)	ایستگاه‌ها
۱۱۷/۰	۲۴/۹	۲۹/۹	جاسک
۲۲۶/۷	۱۹/۴	۳۳/۳	بشاگرد
۲۴۵/۷	۲۳/۰	۳۴/۹	رودان
۲۰۵/۴	۲۱/۱	۳۴/۰	میناب
۱۷۴/۲	۲۱/۹	۳۲/۳	بندر عباس
۱۳۷/۹	۲۴/۴	۳۱/۵	قشم ساحلی
۱۳۰/۹	۲۲/۲	۳۲/۰	قشم فرودگاهی
۱۹۸/۵	۱۴/۸	۳۱/۶	حاجی آباد
۱۳۹/۶	۲۳/۹	۳۴/۲	بندر خمیر
۱۱۷/۷	۲۴/۷	۳۰/۶	ابوالموسى
۱۳۳/۲	۲۲/۴	۳۱/۳	بندر لنگه
۱۰۵/۹	۲۵/۲	۳۰/۵	سیری
۲۶۸/۵	۱۸/۹	۳۵/۴	بستک
۱۶۰/۴	۲۳/۲	۳۱/۴	کیش
۱۵۶/۵	۲۳/۹	۳۱/۴	لارستان
۲۰۴/۳	۲۱/۲	۳۴/۷	پارسیان
۱۷۰/۱	۲۲/۲	۳۲/۴	میانگین استان

۸۰ سال آینده بیشتر بوده و بیانگر آن است که افزایش در دمای استان هرمزگان بیشتر متأثر از افزایش در دمای کمینه است. همچنین نتایج نشان می‌دهد که در ایستگاه‌های هواشناسی استان هرمزگان به جز ایستگاه حاجی‌آباد و بندر خمیر، بیشترین افزایش بارندگی در مدل ۲۰۶۱-۲۰۸۰ RCP8.5 در دوره CanESM2 با سناریو RCP4.5 پیش‌بینی شده است. در ایستگاه حاجی‌آباد بیشترین افزایش بارندگی در مدل CanESM2 با سناریو RCP4.5 و سپس با سناریو RCP8.5 به دست آمده است. همچنین در ایستگاه بندر خمیر بیشترین افزایش بارندگی در مدل MIROC5 با سناریو RCP8.5 و سپس در مدل CanESM2 پیش‌بینی شده است. همچنین در بعضی از ایستگاه‌ها بعضی از مدل‌ها و سناریوها کاهش جزئی بارندگی را نشان می‌دهد به طوری که میانگین تغییرات بارش (نتایج جدول ۶) مقادیر مثبت را نشان می‌دهد. برای مثال مدل MPI-ESM-MRS با سناریو RCP4.5 در ایستگاه‌های بندرعباس، بندرلنگه، بشاغرد، جاسک، میناب، قشم فرودگاهی و قشم ساحلی در دوره ۲۰۴۰-۲۰۲۱ کاهش بارندگی را نشان می‌دهد.

پس از شبیه‌سازی کمیت‌های اقلیمی ایستگاه‌های هواشناسی همدیدی استان هرمزگان توسط WG LARS-WG به دلیل حجم زیاد اطلاعات در جدول ۷، تنها نتایج بررسی‌های میانگین تغییرات میانگین متغیرهای اقلیمی با مدل‌های گزارش پنجم طی دوره‌های ۲۰۲۱-۲۰۴۰، ۲۰۴۱-۲۰۶۰ و ۲۰۶۱-۲۰۸۱ با سناریوهای اقلیمی RCP4.5، RCP2.6 و RCP8.5 نسبت به دوره پایه به تفکیک هر ایستگاه نشان داده شده است. بنابراین جزییات بیشتر نتایج در ادامه بیان می‌شود.

نتایج بررسی‌های تغییرات کمیت‌های اقلیمی با مدل‌های گزارش پنجم در دوره‌های مورد پژوهش (۲۰۲۱-۲۰۴۰، ۲۰۴۱-۲۰۶۰ و ۲۰۶۱-۲۰۸۰) حاکی از افزایش دماهای کمینه و بیشینه در سناریوهای مختلف اقلیمی مدل‌های مذکور در دوره‌های آینده است، لذا دمای از دوره پایه به سمت دوره‌های آتی افزایشی می‌باشد. بیشترین تغییرات دمای بیشینه در غالب ایستگاه‌های استان هرمزگان، مربوط به مدل HadGEM2-ES با سناریو RCP8.5 و دوره ۲۰۶۱-۲۰۸۰ می‌باشد. میزان افزایش در دمای کمینه در غالب مدل‌ها نسبت به دمای بیشینه سالانه در طی ۲۰ تا

جدول ۷. تغییرات کمیت‌های اقلیمی میانگین مدل‌های گزارش پنجم با سناریوهای مختلف نسبت به دوره پایه.

نام ایستگاه	دوره	میانگین اختلاف میانگین دمای بیشینه با دوره پایه	میانگین اختلاف میانگین دمای کمینه با دوره پایه	میانگین اختلاف میانگین دمای سالانه با دوره پایه	میانگین اختلاف میانگین بارش
بندر جاسک	۲۰۴۰-۲۰۲۱	۱/۱	۱/۱	۱۸/۹	
	۲۰۶۰-۲۰۴۱	۱/۹	۲	۱۶/۸	
	۲۰۸۰-۲۰۶۱	۲/۶	۲/۷	۱۲/۵	
سردشت بشاغرد	۲۰۴۰-۲۰۲۱	۰/۵	۰/۵	۴۱/۴	
	۲۰۶۰-۲۰۴۱	۱/۴	۱/۴	۳۸/۷	
	۲۰۸۰-۲۰۶۱	۲/۲	۲/۳	۳۸/۴	
رودان	۲۰۴۰-۲۰۲۱	۰/۸	۰/۹	۷۶/۵	
	۲۰۶۰-۲۰۴۱	۱/۷	۱/۹	۷۳/۵	
	۲۰۸۰-۲۰۶۱	۲/۷	۲/۸	۶۹/۵	
میناب	۲۰۴۰-۲۰۲۱	۱/۲	۱/۴	۵۵	
	۲۰۶۰-۲۰۴۱	۲/۱	۲/۳	۴۶/۴	
	۲۰۸۰-۲۰۶۱	۳	۳/۲	۴۲/۹	
بندرعباس	۲۰۴۰-۲۰۲۱	۱/۶	۱/۸	۴۱/۳	
	۲۰۶۰-۲۰۴۱	۲/۵	۲/۷	۳۲/۵	
	۲۰۸۰-۲۰۶۱	۳/۴	۳/۶	۳۰/۲	

دادمه جدول ۷.

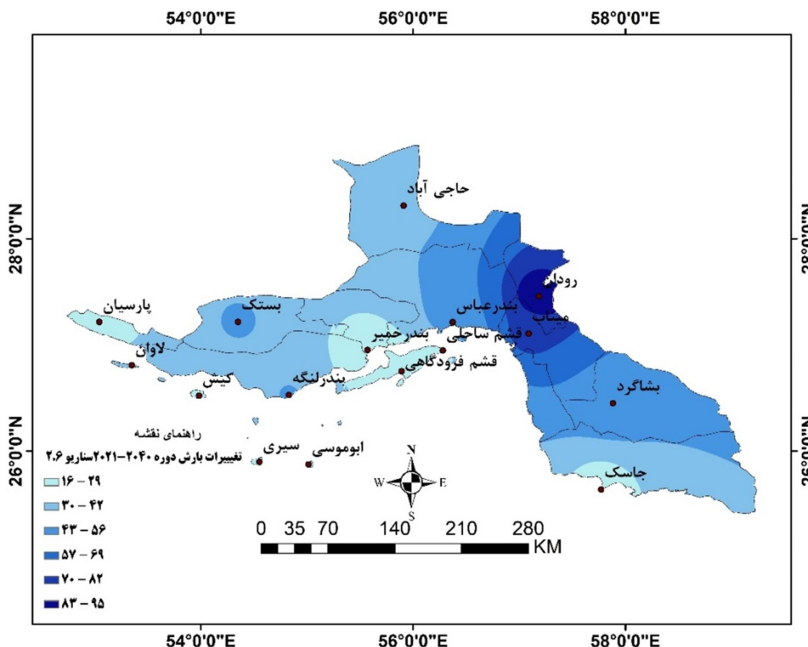
نام ایستگاه	دوره	میانگین اختلاف میانگین دمای بیشینه با دوره پایه	میانگین اختلاف میانگین دمای کمینه با دوره پایه	میانگین اختلاف میانگین دمای سالانه با دوره پایه
قسم ساحلی	۲۰۴۰-۲۰۲۱	۰/۸	۰/۹	۱۷/۹
	۲۰۶۰-۲۰۴۱	۱/۷	۱/۹	۱۷/۹
	۲۰۸۰-۲۰۶۱	۲/۶	۲/۸	۱۷/۸
قسم فرودگاهی	۲۰۴۰-۲۰۲۱	۰/۹	۱/۱	۹/۶
	۲۰۶۰-۲۰۴۱	۱/۸	۲	۷/۸
	۲۰۸۰-۲۰۶۱	۲/۷	۲/۹	۶/۵
حاجی آباد	۲۰۴۰-۲۰۲۱	۰/۹	۱/۱	۲۶
	۲۰۶۰-۲۰۴۱	۱/۹	۲	۲۷/۸
	۲۰۸۰-۲۰۶۱	۲/۹	۳	۲۳
بندر خمیر	۲۰۴۰-۲۰۲۱	۰/۹	۰/۶	۱۶/۸
	۲۰۶۰-۲۰۴۱	۱/۷	۱/۸	۱۵/۱
	۲۰۸۰-۲۰۶۱	۲/۴	۲/۵	۱۹/۳
ابوموسی	۲۰۴۰-۲۰۲۱	۱/۲	۱/۳	۳۰/۴
	۲۰۶۰-۲۰۴۱	۲	۲/۲	۲۷/۳
	۲۰۸۰-۲۰۶۱	۲/۸	۳	۲۶
بندر لنگه	۲۰۴۰-۲۰۲۱	۱/۶	۱/۷	۳۴/۳
	۲۰۶۰-۲۰۴۱	۲/۴	۲/۵	۳۳/۱
	۲۰۸۰-۲۰۶۱	۳/۲	۳/۶	۲۸/۹
سیری	۲۰۴۰-۲۰۲۱	۱/۲	۱/۳	۱۵/۴
	۲۰۶۰-۲۰۴۱	۲	۲/۱	۱۴/۳
	۲۰۸۰-۲۰۶۱	۲/۸	۳	۱۳
بستک	۲۰۴۰-۲۰۲۱	۰/۵	۰/۵	۳۶/۸
	۲۰۶۰-۲۰۴۱	۱/۴	۱/۴	۴۶/۶
	۲۰۸۰-۲۰۶۱	۲/۳	۲/۳	۴۵/۵
کیش	۲۰۴۰-۲۰۲۱	۱/۳	۱/۴	۲۱/۵
	۲۰۶۰-۲۰۴۱	۲/۱	۲/۲	۲۲/۸
	۲۰۸۰-۲۰۶۱	۳	۳	۱۷/۸
لاران	۲۰۴۰-۲۰۲۱	۰/۷	۰/۸	۲۸/۹
	۲۰۶۰-۲۰۴۱	۱/۶	۱/۶	۳۴/۵
	۲۰۸۰-۲۰۶۱	۲/۴	۲/۴	۳۱/۴
پارسیان	۲۰۴۰-۲۰۲۱	۰/۷	۰/۸	۱۸/۶
	۲۰۶۰-۲۰۴۱	۱/۵	۱/۶	۲۷/۲
	۲۰۸۰-۲۰۶۱	۲/۴	۲/۴	۱۹/۳

دوره‌ها و سناریوها به تفکیک آورده شده است. مطابق سناریو اقلیمی خوش‌بینانه واداشت تابشی در اواسط این قرن به حدود ۳/۱ رسیده و سپس کاهش یافته و به ۲/۶ وات بر مترمربع در سال ۲۱۰۰ می‌رسد (علوی‌نیا و زارعی، ۱۳۹۹). رای رسیدن به این سطح واداشت تابشی بایستی

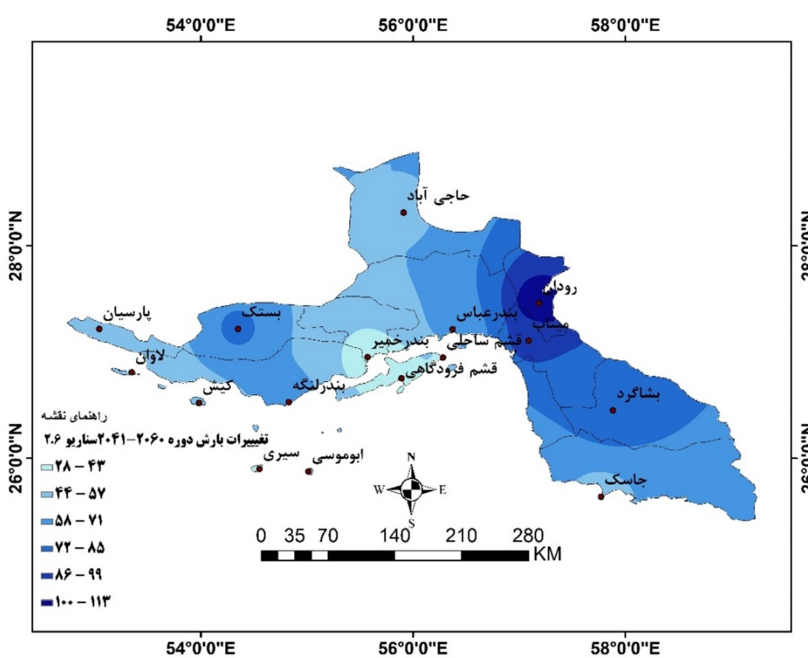
بر اساس نتایج سناریوهای RCP2.6، RCP4.5 و RCP8.5 تغییرات بارشی استان هرمزگان با استفاده از سیستم اطلاعات جغرافیایی (GIS) بروش درونیابی وزن‌دهی بر اساس فاصله معکوس IDW (Inverse distance weighting) پنهان‌بندی شد، که نتایج آن برای هر یک از

افزایش در دوره ۲۰۶۰-۲۰۴۱ به میزان ۱۱۳-۲۸ میلی‌متر در ایستگاه‌های استان متغیر بوده و این افزایش در شرق و شمال شرق (شهرستان رودان) به میزان ۱۱۳ میلی‌متر است. در این سناریو کمترین میزان افزایش باران در نواحی مرکزی و جزایر و قسمتی از غرب استان رخ خواهد داد.

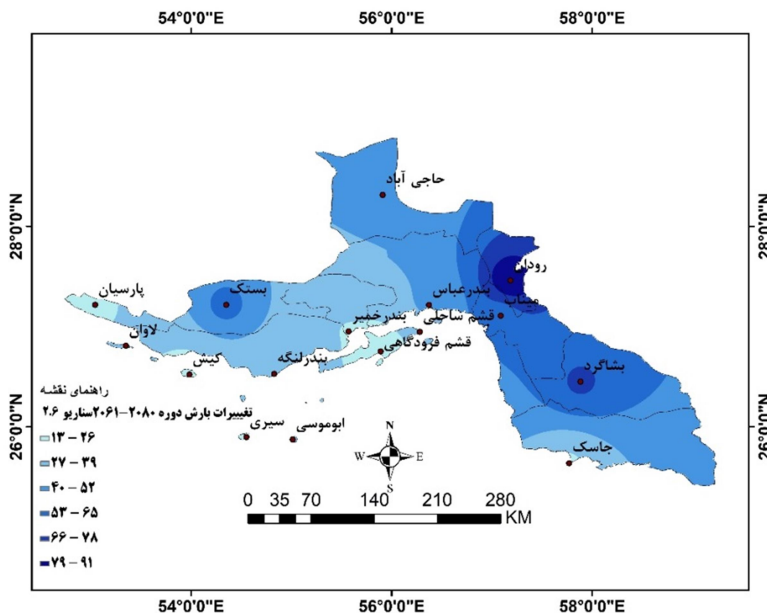
گازهای گلخانه‌ای به میزان قابل توجهی کاهش یابند. بر اساس پهنه‌بندی انجام گرفته بر اساس سناریوهای اقلیمی خوش‌بینانه، تغییرات بارشی استان هرمزگان با توجه به شکل‌های ۳ تا ۵ به صورت افزایشی بوده و این افزایش بارش نسبت به دوره پایه، در ناحیه شرق و شمال شرق بیشتر خواهد بود. بر این اساس بیشترین



شکل ۳. پهنه‌بندی مقدار بارش استان هرمزگان طی دوره ۲۰۲۱-۲۰۶۰ با سناریو خوش‌بینانه.



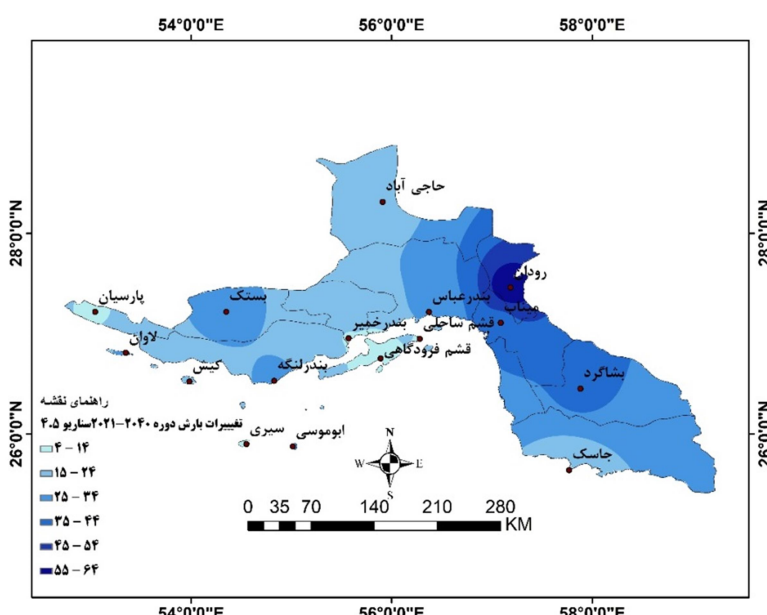
شکل ۴. پهنه‌بندی مقدار بارش استان هرمزگان طی دوره ۲۰۶۰-۲۰۴۱ با سناریو خوش‌بینانه.



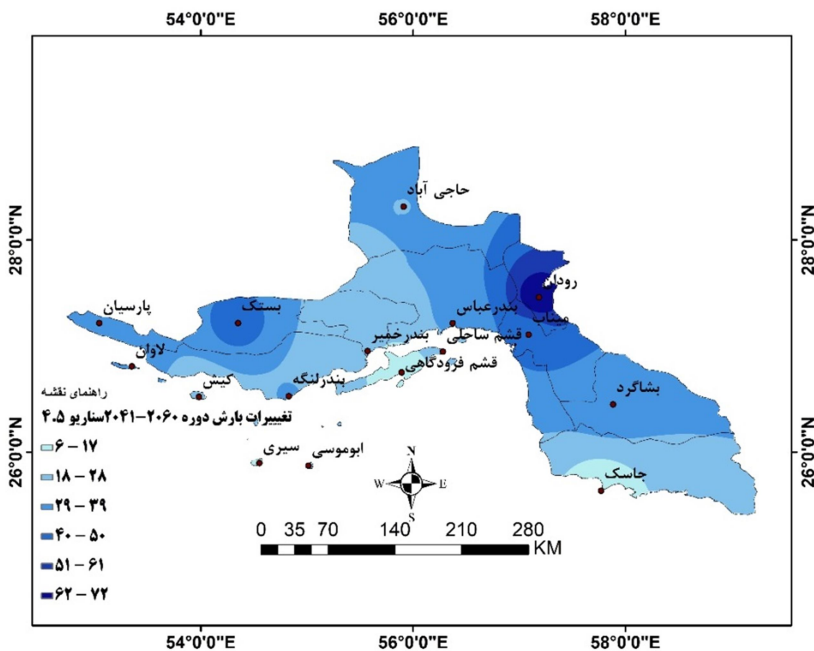
شکل ۵. پهنه‌بندی مقدار بارش استان هرمزگان طی دوره ۲۰۸۰-۲۰۶۱ با سناریو خوش‌بینانه.

شرق بیشتر بوده و در مرکز و شمال استان بارش دارای تغییرات کمتری خواهد بود. بیشترین افزایش بارش در دوره ۲۰۶۰-۲۰۴۱ به میزان ۷۷-۶ میلی‌متر در ایستگاه‌های استان متغیر بوده و این افزایش در شهرستان رودان به میزان ۷۲ میلی‌متر است. در این سناریو کمترین میزان افزایش باران در نواحی مرکزی، جاسک و پارسیان رخ خواهد داد.

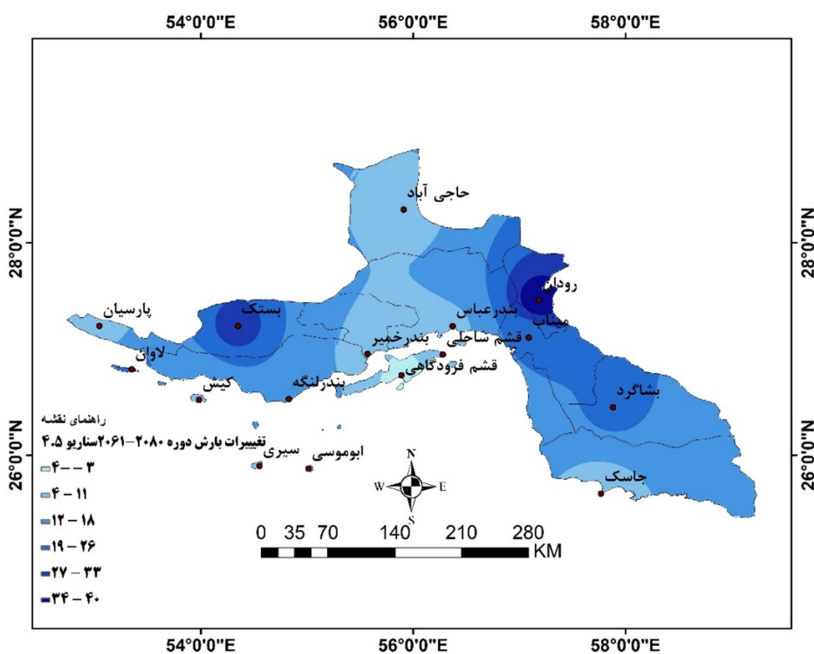
مطابق سناریو و اداشت تابشی خوش‌بینانه تا متوسط گازهای گلخانه‌ای قبل از سال ۲۱۰۰ در مقدار ۴/۵ وات بر مترمربع ثابت می‌ماند (سلامتی و همکاران، ۱۴۰۰). بر اساس پهنه‌بندی انجام گرفته بر اساس سناریوهای اقلیمی خوش‌بینانه تا متوسط، تغییرات بارشی استان هرمزگان با توجه به شکل‌های ۶ تا ۸ به صورت افزایشی بوده و این افزایش بارش نسبت به دوره پایه، در ناحیه شرق و شمال



شکل ۶. پهنه‌بندی مقدار بارش استان هرمزگان طی دوره ۲۰۴۰-۲۰۲۱ با سناریو خوش‌بینانه تا متوسط.



شکل ۷. پهنه‌بندی مقدار بارش استان هرمزگان طی دوره ۲۰۴۱-۲۰۶۰ با سناریو خوش‌بینانه تا متوسط.

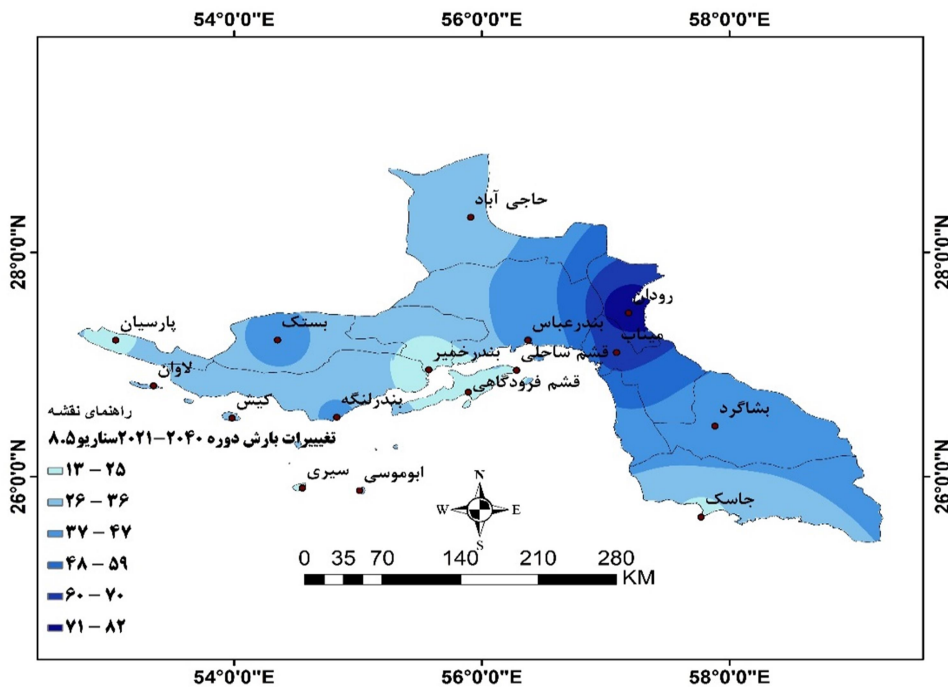


شکل ۸. پهنه‌بندی مقدار بارش استان هرمزگان طی دوره ۲۰۶۱-۲۰۸۰ با سناریو خوش‌بینانه تا متوسط

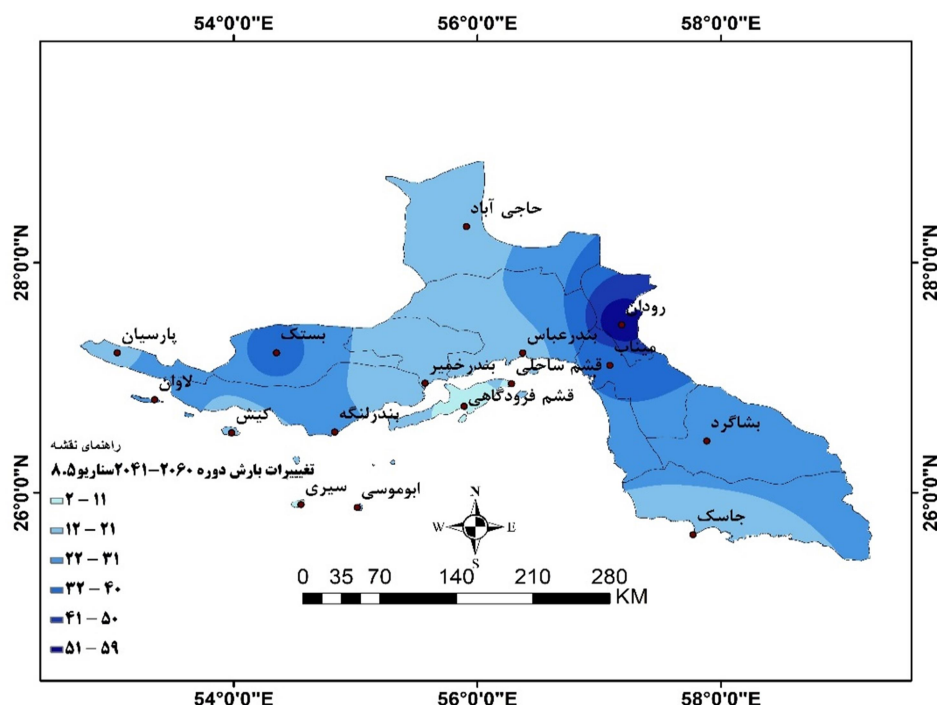
همچنان روند افزایش خواهد داشت (علوی‌نیا و زارعی، ۱۳۹۹). با توجه به پهنه‌بندی انجام گرفته بر اساس سناریوهای اقلیمی بدینانه، تغییرات بارشی استان هرمزگان (شکل‌های ۹ تا ۱۱) به صورت افزایشی بوده و این افزایش بارش در ناحیه شرق و شمال شرق نسبت به دوره پایه بیشتر خواهد بود. بر این اساس پیش‌ترین افزایش

مطابق سناریو بدینانه بدون اتخاذ هیچ‌گونه سیاست‌های کاهش آثار و مقابله با پیامدهای اقلیم، آب و هوای کره زمین در خط سیر سناریوی انتشار RCP 8.5 پیش خواهد رفت، به طوری که ادامه این روند منجر به واداشت تابشی به میزان ۸/۵ وات بر مترمربع در سال ۲۱۰۰ می‌شود. در این هنگام غلظت دی‌اکسید کربن به ۱۰۰ ppm رسیده و

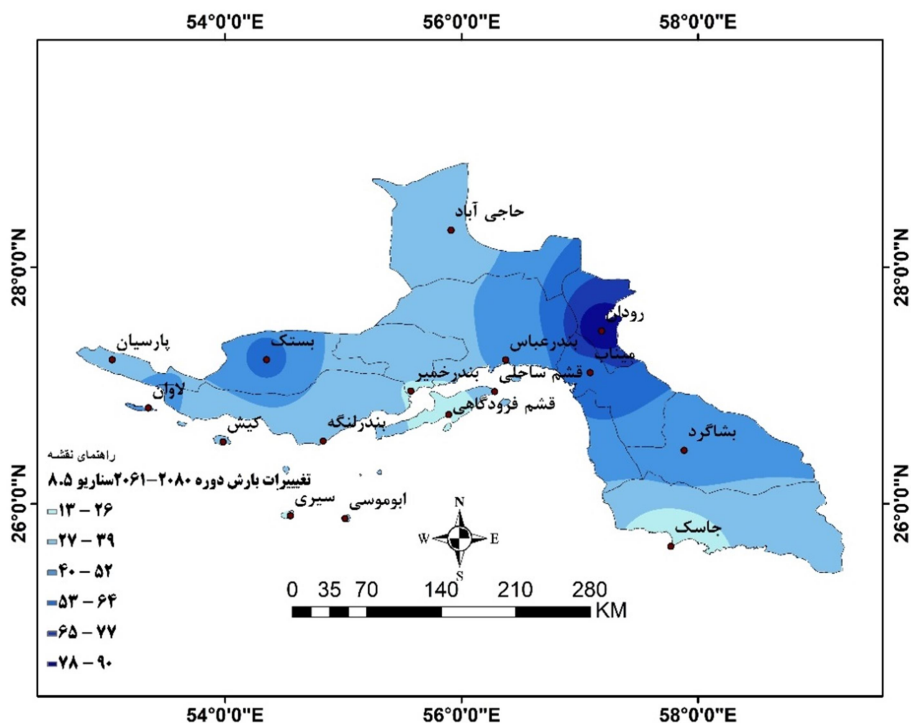
در دوره ۲۰۶۱-۲۰۸۰ به میزان ۹۰-۱۳ میلی متر در ایستگاههای استان متغیر بوده و این افزایش بارندگی در شهرستان رودان به میزان ۹۰ میلی متر خواهد داد.



شکل ۹. پهنه‌بندی مقدار بارش استان هرمزگان طی دوره ۲۰۲۱-۲۰۴۰ با سناریو بدینسانه.



شکل ۱۰. پهنه‌بندی مقدار بارش استان هرمزگان طی دوره ۲۰۴۱-۲۰۶۰ با سناریو بدینسانه.



شکل ۱۱. پنهانی مقدار بارش استان هرمزگان طی دوره ۲۰۶۱-۲۰۸۰ با سناریو بدینسانه.

با استفاده از سناریوهای اقلیمی RCP4.5، RCP2.6 و RCP8.5، شاخص خشکسالی استان هرمزگان نیز به تفکیک هر ایستگاه موربد بررسی قرار گرفت. بدلیل حجم بالای اطلاعات در جدول ۸ علاوه بر وضعیت خشکسالی در ایستگاه‌های همدیدی استان هرمزگان، تنها بیشترین و کمترین شاخص خشکسالی SPI به همراه مدل گرددش کلی، سناریو انتشار و فصل رخداد بیشینه و کمینه شاخص خشکسالی در هر یک از سه دوره آینده بیان شده است. شاخص خشکسالی SPI در ایستگاه‌های استان هرمزگان در فصول مختلف نشان داد که بیشترین شاخص SPI در فصل بهار و پاییز مربوط مدل CanESM2 است. فصل تابستان مدل MIROC5 و فصل زمستان مدل‌های CanESM2 و HadGEM2-ES می‌باشد بر اساس نتایج ارائه شده در جدول ۸ مدل‌های CanESM2 و MPI-ESM-MR به ترتیب بیشینه و کمینه بارش را پیش‌بینی می‌کنند.

با توجه به سناریوهای اقلیمی در دوره‌های مختلف اقلیمی، به نظر می‌رسد شرق و شمال شرق استان هرمزگان (شهرستان‌های رودان، میاناب، بشاغرد) و همچنین قسمتی از غرب استان (بستک) افزایش بارش را در دوره‌های آتی تجربه خواهد کرد. با توجه به شرایط توپوگرافی استان هرمزگان بیشترین افزایش بارندگی در مناطق مرتفع استان رخ می‌دهد. از طرفی مناطق مرکزی و ساحلی افزایش کمتری در میزان بارش آنها روی می‌دهد.

۳-۳. پیش‌بینی خشکسالی دوره‌های آتی ایستگاه‌های هواشناسی همدیدی استان هرمزگان با شاخص SPI

پس از شیوه‌سازی بارش ایستگاه‌های هواشناسی همدیدی استان هرمزگان توسط LARS-WG، طبق نتایج حاصل از بررسی تغییرات این متغیر اقلیمی با مدل‌های گزارش پنجم طی دوره‌های ۲۰۴۰-۲۰۶۰، ۲۰۴۱-۲۰۶۱ و ۲۰۶۱-۲۰۸۱

جدول ۸ بیشینه و کمینه پیش‌بینی شاخص خشکسالی ایستگاه‌های هواشناسی همدیدی استان هرمزگان توسط مدل LARS-WG و سایر مشخصات این بیشینه و کمینه رخداد.

فصل رخداد		شاخص		سناریو انتشار		مدل گردش کلی		دوره	بازه وضعیت خشکسالی در کل مدل‌ها	ایستگاه
کمینه SPI	بیشینه SPI	کمینه SPI	بیشینه SPI	SPI کمینه	SPI بیشینه	SPI کمینه	SPI بیشینه			
زمستان	تابستان	-۰/۳۷	۱	RCP8.5	RCP8.5	MPI-ESM-MR	MIROC5	۲۰۴۰-۲۰۲۱	نرمال تا ترسالی متوسط	جاسک
زمستان	زمستان	-۰/۶۳	۱/۴۴	RCP8.5	RCP2.6	MPI-ESM-MR	CanESM2	۲۰۶۰-۲۰۴۱	نرمال تا ترسالی متوسط	
پاییز	زمستان	-۰/۶۸	۲/۶۴	RCP8.5	RCP8.5	HadGEM2-ES	CanESM2	۲۰۸۰-۲۰۶۱	نرمال تا ترسالی بسیار شدید	
بهار	پاییز	-۰/۳۰	۱/۱۰	RCP4.5	RCP4.5	MPI-ESM-MR	CanESM2	۲۰۴۰-۲۰۲۱	نرمال تا ترسالی متوسط	
تابستان	زمستان	-۰/۸۰	۱/۵۵	RCP8.5	RCP2.6	MPI-ESM-MR	CanESM2	۲۰۶۰-۲۰۴۱	نرمال تا ترسالی متوسط	بشاگرد
تابستان	زمستان	-۱/۰۲	۲/۰۸	RCP8.5	RCP8.5	MPI-ESM-MR	CanESM2	۲۰۸۰-۲۰۶۱	خشکسالی متوسط تا ترسالی بسیار شدید	
تابستان	زمستان	-۰/۳۴	۱/۸۳	RCP8.5	RCP2.6	MPI-ESM-MR	HadGEM2-ES	۲۰۴۰-۲۰۲۱	نرمال تا ترسالی شدید	
تابستان	زمستان	-۰/۴۴	۲/۳۷	RCP8.5	RCP4.5	MPI-ESM-MR	HadGEM2-ES	۲۰۶۰-۲۰۴۱	نرمال تا ترسالی بسیار شدید	روdan
تابستان	زمستان	-۰/۰۳	۲/۸۵	RCP8.5	RCP8.5	MPI-ESM-MR	CanESM2	۲۰۸۰-۲۰۶۱	نرمال تا ترسالی بسیار شدید	
بهار	زمستان	-۰/۳۷	۱/۸۰	RCP8.5	RCP2.6	MPI-ESM-MR	HadGEM2-ES	۲۰۴۰-۲۰۲۱	نرمال تا ترسالی شدید	
بهار	زمستان	-۰/۴۹	۲/۰۱	RCP8.5	RCP8.5	MPI-ESM-MR	HadGEM2-ES	۲۰۶۰-۲۰۴۱	نرمال تا ترسالی بسیار شدید	میتاب
بهار	زمستان	-۰/۴۵	۲/۵۴	RCP4.5	RCP8.5	HadGEM2-ES	CanESM2	۲۰۸۰-۲۰۶۱	نرمال تا ترسالی بسیار شدید	
زمستان	پاییز	-۰/۴۸	۱/۸۵	RCP4.5	RCP4.5	MPI-ESM-MR	CanESM2	۲۰۴۰-۲۰۲۱	نرمال تا ترسالی شدید	
زمستان	زمستان	-۰/۰۲	۱/۵۱	RCP8.5	RCP4.5	GFDL-CM3	HadGEM2-ES	۲۰۶۰-۲۰۴۱	نرمال تا ترسالی شدید	بندرعباس
زمستان	زمستان	-۰/۳۳	۱/۸۶	RCP8.5	RCP8.5	GFDL-CM3	CanESM2	۲۰۸۰-۲۰۶۱	نرمال تا ترسالی شدید	
زمستان	پاییز	-۰/۴۹	۱/۲۲	RCP4.5	RCP4.5	MPI-ESM-MR	CanESM2	۲۰۴۰-۲۰۲۱	نرمال تا ترسالی متوسط	
زمستان	پاییز	-۰/۰۲	۱/۱۰	RCP4.5	RCP2.6	MPI-ESM-MR	CanESM2	۲۰۶۰-۲۰۴۱	نرمال تا ترسالی متوسط	قشم فرودگاهی
زمستان	زمستان	-۰/۴۷	۱/۱۳	RCP8.5	RCP8.5	MIROC5	CanESM2	۲۰۸۰-۲۰۶۱	نرمال تا ترسالی متوسط	
تابستان	بهار	-۰/۴۲	۱/۴۸	RCP8.5	RCP4.5	MPI-ESM-MR	CanESM2	۲۰۴۰-۲۰۲۱	نرمال تا ترسالی متوسط	
تابستان	بهار	-۰/۴۰	۲	RCP8.5	RCP2.6	MPI-ESM-MR	CanESM2	۲۰۶۰-۲۰۴۱	نرمال تا ترسالی بسیار شدید	حاجی‌آباد
تابستان	بهار	-۰/۷۶	۲/۱۹	RCP8.5	RCP4.5	MPI-ESM-MR	CanESM2	۲۰۸۰-۲۰۶۱	نرمال تا ترسالی بسیار شدید	
زمستان	تابستان	-۰/۳۳	۲/۱۷	RCP4.5	RCP8.5	MPI-ESM-MR	MIROC5	۲۰۴۰-۲۰۲۱	نرمال تا ترسالی بسیار شدید	
بهار	تابستان	-۰/۴۱	۲/۴۲	RCP8.5	RCP8.5	MPI-ESM-MR	MIROC5	۲۰۶۰-۲۰۴۱	نرمال تا ترسالی بسیار شدید	بندر خمیر
بهار	تابستان	-۰/۰۳	۲/۷۵	RCP8.5	RCP8.5	MPI-ESM-MR	MIROC5	۲۰۸۰-۲۰۶۱	نرمال تا ترسالی بسیار شدید	
زمستان	بهار	-۰/۴۲	۲/۲۰	RCP4.5	RCP4.5	MPI-ESM-MR	CanESM2	۲۰۴۰-۲۰۲۱	نرمال تا ترسالی بسیار شدید	
زمستان	بهار	-۰/۴۵	۲/۸۸	RCP4.5	RCP2.6	MPI-ESM-MR	CanESM2	۲۰۶۰-۲۰۴۱	نرمال تا ترسالی بسیار شدید	بوموسی
پاییز	بهار	-۰/۴۴	۲/۹۶	RCP4.5	RCP8.5	HadGEM2-ES	CanESM2	۲۰۸۰-۲۰۶۱	نرمال تا ترسالی بسیار شدید	

ادامه جدول ۸

فصل رخداد		SPI		شاخص		سناریو انتشار		مدل گردش کلی		دوره	بازه وضعیت خشکسالی در کل مدل‌ها	ایستگاه
کمینه SPI	بیشینه SPI	کمینه SPI	بیشینه SPI	کمینه SPI	بیشینه SPI	کمینه SPI	بیشینه SPI	کمینه SPI	بیشینه SPI			
بهار	زمستان	-۰/۴۶	۱/۵۸	RCP4.5	RCP2.6	MPI-ESM-MR	HadGEM2-ES	۲۰۴۰-۲۰۲۱	نرمال تا ترسالی شدید	بندر لنگه		
پاییز	زمستان	-۰/۶۸	۱/۸۹	RCP8.5	RCP2.6	HadGEM2-ES	CanESM2	۲۰۶۰-۲۰۴۱	نرمال تا ترسالی شدید			
پاییز	زمستان	-۰/۵۷	۲/۳۵	RCP2.6	RCP8.5	HadGEM2-ES	CanESM2	۲۰۸۰-۲۰۶۱	نرمال تا ترسالی بسیار شدید			
بهار	بهار	-۰/۵۵	۱/۴۵	RCP4.5	RCP4.5	MPI-ESM-MR	CanESM2	۲۰۴۰-۲۰۲۱	نرمال تا ترسالی متوسط			
پاییز	بهار	-۰/۶۶	۲/۰۳	RCP8.5	RCP2.6	HadGEM2-ES	CanESM2	۲۰۶۰-۲۰۴۱	نرمال تا ترسالی بسیار شدید	سیری		
پاییز	بهار	-۰/۶۷	۲/۰۳	RCP4.5	RCP8.5	HadGEM2-ES	CanESM2	۲۰۸۰-۲۰۶۱	نرمال تا ترسالی بسیار شدید			
بهار و تابستان	بهار	-۰/۱۱	۱/۳۱	RCP4.5	RCP4.5	MPI-ESM-MR	CanESM2	۲۰۴۰-۲۰۲۱	نرمال تا ترسالی متوسط			
بهار	بهار	-۰/۴۴	۲/۳۱	RCP8.5	RCP2.6	MPI-ESM-MR	CanESM2	۲۰۶۰-۲۰۴۱	نرمال تا ترسالی بسیار شدید	بستک		
تابستان	بهار	-۰/۴۰	۲/۶۲	RCP8.5	RCP8.5	MPI-ESM-MR	CanESM2	۲۰۸۰-۲۰۶۱	نرمال تا ترسالی بسیار شدید			
پاییز	بهار	-۰/۴۴	۱/۶۰	RCP8.5	RCP4.5	HadGEM2-ES	CanESM2	۲۰۴۰-۲۰۲۱	نرمال تا ترسالی شدید			
پاییز	بهار	-۰/۷۵	۲/۰۲	RCP8.5	RCP2.6	HadGEM2-ES	CanESM2	۲۰۶۰-۲۰۴۱	نرمال تا ترسالی بسیار شدید	کیش		
پاییز	زمستان	-۰/۸۱	۲/۰۷	RCP4.5	RCP8.5	HadGEM2-ES	CanESM2	۲۰۸۰-۲۰۶۱	نرمال تا ترسالی بسیار شدید			
بهار	زمستان	-۰/۷۰	۰/۹۰	RCP4.5	RCP2.6	MPI-ESM-MR	HadGEM2-ES	۲۰۴۰-۲۰۲۱	نرمال			
بهار	زمستان	-۰/۸۳	۱/۷۱	RCP8.5	RCP2.6	MPI-ESM-MR	CanESM2	۲۰۶۰-۲۰۴۱	نرمال تا ترسالی شدید			
بهار	زمستان	-۰/۷۴	۲/۱۹	RCP8.5	RCP8.5	GFDL-CM3	CanESM2	۲۰۸۰-۲۰۶۱	نرمال تا ترسالی بسیار شدید	لاوان		
بهار	بهار	-۰/۳۳	۱/۱۸	RCP4.5	RCP4.5	HadGEM2-ES	CanESM2	۲۰۴۰-۲۰۲۱	نرمال تا ترسالی متوسط			
پاییز	بهار	-۰/۴۹	۱/۸۲	RCP8.5	RCP2.6	HadGEM2-ES	CanESM2	۲۰۶۰-۲۰۴۱	نرمال تا ترسالی شدید			
پاییز	بهار	-۰/۴۷	۱/۹۱	RCP4.5	RCP8.5	HadGEM2-ES	CanESM2	۲۰۸۰-۲۰۶۱	نرمال تا ترسالی شدید	بارسیان		

مدل گردش عمومی جو شامل مدل‌های HadGEM2-ES، GFDL-CM3، MPI-ESM-MR، CanESM2 و RCP8.5 با سناریوهای MIROC5 RCP4.5، RCP2.6 و LARS-WG6 استفاده شد و قابل دسترس در نرم‌افزار LARS-WG6 قابل دسترس در نرم‌افزار LARS-WG6 استفاده شد و سپس با استفاده از شاخص‌های ضربی تعیین R^2 ، میانگین سپس با استفاده از شاخص‌های ضربی تعیین R^2 ، میانگین مربعات خطأ (MSE) و مجدول میانگین مربعات خطأ (RMSE) مورد ارزیابی قرار گرفت. ارزیابی LARS-WG6 در دوره مشابه اقلیمی نشان داد، بهدلیل این که کمیت‌های دمای کمینه و بیشینه توزیع یکسانی در طی روزهای سال دارند در کلاس ارزیابی بسیار مناسب تا مناسب و کمیت بارش بهدلیل عدم توزیع یکنواخت در

۴. نتیجه گیری

پیامدهای گوناگون تغییرات آب و هوای به سرعت در حال افزایش است به گونه‌ای که می‌تواند باعث ایجاد مشکلات اجتماعی و اقتصادی فراوانی شود. در این پژوهش با توجه به اهمیت موضوع کم‌آبی و خشکسالی و اثرات جبران‌ناپذیر تغییر اقلیم بر منابع اقتصادی، از روش ریزمقیاس‌نمایی آماری بهمنظور شیوه‌سازی متغیرهای اقلیمی دما و بارش جهت محاسبه شاخص‌های خشکسالی در استان هرمزگان استفاده شده است. برای پیش‌بایی و بررسی بارش و خشکسالی استان هرمزگان طی دوره زمانی ۲۰۴۰-۲۰۲۱، ۲۰۶۰-۲۰۴۱ و ۲۰۸۰-۲۰۶۱ از

ترسالی بسیار شدید قرار دارند.

مراجع

تابان، ح.، ظهراوی، ن. و نیکبخت شهبازی، ع. ر.، ۱۳۹۷، ارزیابی عدم قطعیت‌های مدل‌های گردش کلی در تخمین بارش و رواناب حوضه دز علیا تحت تاثیر تغییر اقلیم، مجله فیزیک زمین و فضا، ۱(۴۴)، ۱۰۲-۱۳۹.

۸۹

جعفری گذنه، م.، سلاجه، ع. و حقیقی، پ.، ۱۳۹۹، پیش‌بینی مقایسه‌ای بارش و دمای شهرستان کرمان با استفاده از مدل‌های LARS-WG6، مجله هیدرو اکولوژی، ۷(۲)، ۵۲۹-۵۳۸.

جوانمرد، س. و آسیابی، م.، ۱۳۸۳، فرهنگ اصطلاحات هواشناسی و اقلیم شناسی، انتشارات سخن گستر.

جهانگیر، م. ح.، جهان پناه، م. و ابوالقاسمی، م.، ۱۳۹۹، پیش‌بینی وضعیت خشکسالی برای دوره‌های آتی با استفاده از مدل LARS-WG (مطالعه موردی: ایستگاه شیراز)، محیط زیست و مهندسی آب، ۶(۱)، ۶۹-۸۲.

رمضانی‌پور، م.، ۱۳۹۷، پیش‌بینی اثر تغییر آب‌وهوا بر شاخص‌های اقلیم-کشاورزی و عملکرد برج مطالعه موردی: مناطق شمال ایران، برنامه ریزی منطقه‌ای، ۸(۳۲)، ۶۹-۸۰.

سلامتی هرمزی، و.، مزیدی، ا. و بلالی کمیزی، ع. ا.، ۱۴۰۰، بررسی اثرات سناریوهای تغییرات اقلیمی در LARS-WG (مطالعه موردی: بندرعباس)، فصلنامه علمی علوم و فنون آبخاکی، ۲(۲)، ۱-۱۶.

صبوحی، ر.، بارانی، ح.، خداقلی، م.، عابدی سروستانی، ا. و طهماسبی، ا.، ۱۳۹۸، بررسی روند گذشته و پیش‌بینی متغیرهای اقلیمی در منطقه سمیرم، مهندسی و مدیریت آبخیز، ۱۲۸-۱۱۲.

عباسی، ف.، بابائیان، ا.، گلی مختاری، ل. و ملبوسی، ش.، ۱۳۸۹، ارزیابی تأثیر تغییر اقلیم بر دما و بارش ایران در دهه‌های آینده، با کمک مدل SCENGEN-

طول سال در کلاس ارزیابی مناسب تا متوسط قرار دارند که نتایج حاصل از پژوهش سلامتی و همکاران (۱۴۰۰) با عنوان بررسی اثرات سناریوهای تغییرات اقلیمی در پیش‌بینی دما و بارش با استفاده از LARS-WG (مطالعه موردی: بندرعباس) این مطلب را تأیید می‌کند. نتایج بررسی تغییرات کمیت‌های اقلیمی با مدل‌های گزارش پنجم نشان داد بیشترین تغییرات دمای بیشینه در غالب ایستگاه‌های استان هرمزگان، مربوط به مدل HadGEM2-ES با سناریو RCP8.5 و دوره ۲۰۶۱-۲۰۸۰ می‌باشد. همچنین میزان افزایش دمای کمینه در غالب مدل‌ها نسبت به دمای بیشینه سالانه در طی ۲۰ سال آینده بیشتر بوده و بیانگر آن است که افزایش در دمای میانگین استان هرمزگان بیشتر مؤثر از افزایش در دمای کمینه آن خواهد بود. این مطلب با نتایج عباسی و همکاران (۱۳۸۹) در ارزیابی تأثیر تغییر اقلیم بر دمای ایران در دهه‌های آینده و نتایج پژوهش جعفری گذنه و همکاران (۱۳۹۹) در مورد پیش‌بینی مقایسه‌ای بارش و دمای شهرستان کرمان و همچنین نتایج پژوهش سلامتی و همکاران (۱۴۰۰) در مورد پیش‌بینی دما و بارش بندرعباس مطابقت دارد. در اغلب ایستگاه‌های هواشناسی استان هرمزگان بیشترین افزایش بارندگی در مدل CanESM2 با سناریو RCP8.5 در دوره ۲۰۶۱-۲۰۸۰ پیش‌بینی شده است. مطابق هر سه سناریو میانگین تغییرات بارشی استان هرمزگان به صورت افزایشی بوده و این افزایش بارش نسبت به دوره پایه، در ناحیه شرق و شمال شرق بیشتر خواهد بود. شاخص خشکسالی SPI در ایستگاه‌های استان هرمزگان در فصول مختلف نشان داد که بیشترین مقدار شاخص SPI در فصل بهار مربوط به مدل CanESM2، در فصل تابستان مربوط به مدل MIROC5 در فصل پاییز مربوط به مدل CanESM2 و در فصل زمستان مربوط به مدل‌های CanESM2 و HadGEM2-ES می‌باشد. برآوردهای شاخص SPI در دوره‌های آینده نشان می‌دهد که تمام ایستگاه‌های هواشناسی استان هرمزگان به غیراز ایستگاه بشاگرد در مدل‌های مختلف اقلیمی در حد نرمال تا

کریمی، و.، حبیب نژاد روشن، م. و آبه‌کار، ع.ج.، ۱۳۹۰، بررسی شاخص‌های خشکسالی هواشناسی در ایستگاه‌های سینوپتیک مازندران، فصلنامه علمی پژوهشی مهندسی آبیاری و آب، ۵(۲)، ۱۵-۲۵.

کمالی، غ.ع.، نوحی، ک. و عسگری، ا.، ۱۳۸۸، هواشناسی کاربردی، انتشارات پژوهشکده هواشناسی و رجاء تهران.

Arora, V. K., Scinocca, J. F., Boer, G. J., Christian, J. R., Denman, K. L., Flato, G. M., Kharin, V. V., Lee, W.G. and Merryfield, W. J, 2011, Carbon emission limits required to satisfy future representative concentration pathways of greenhouse gases, *Geophys. Res. Lett.*, 38: L05805. <https://doi.org/10.1029/2010GL046270>.

Babaei Fini, A., Qasemi, A. and Fatahi, A., 2014, Investigating the Impact of Climate Change on the Trend of Iran Earth's Limit Rainfall Profiles, *Journal of Spatial Analysis of Environmental Hazards*, 1(3), 103-85, [Persian].

Bayatvarkeshi, M., Zhang, B., Fasihi, R., Adnan, R. M., Kisi, O. and Yuan, X., 2020, Investigation into the Effects of Climate Change on Reference Evapotranspiration Using the HadCM3 and LARS-WG, *Water*, 12(3), 666.

Chisanga, C. B., Phiri, E. and Chinene, V., 2020, Reliability of Rain-Fed Maize Yield Simulation Using LARS-WG Derived CMIP5 Climate Data at Mount Makulu, Zambia, *journal of Agricultural Science*, 12(11), 275-289.

Collins, W. J., Bellouin, N., Doutriaux-Boucher, M., Gedney, N., Halloran, P., Hinton, T., Hughes, J., Jones, C. D., Joshi, M., Liddicoat, S., Martin, G., O'Connor, F., Rae, J., Senior, C., Sitch, S., Totterdell, I., Wiltshire, A. and Woodward, S., 2011, Development and evaluation of an earth-system model – HadGEM2, *Geosci. Model Dev.*, 4: 1051, 2011–1075, <https://doi.org/10.5194/gmd-4-1051-2011>.

Donner, L., Wyman, B., Hemler, R., Horowitz, L., Ming, Y., Zhao, M., Golaz, J., Ginoux, P., Lin, S., Schwarzkopf, M., Austin, J., Alaka, G., Cooke, W., Delworth, T., Freidenreich, S., Gordon, C., Griffies, S., Held, I., Hurlin, W., Klein, S., Knutson, T., Langenhorst, A., Lee, H., Lin, Y., Magi, B., Malyshev, S., Milly, P., Naik, V., Nath, M., Pincus, R., Ploschay, J., Ramaswamy, V., Seman, C., Shevliakova, E., Sirutis, J., Stern, W., Stouffer, R., Wilson, R.,

MAGICC، مجله پژوهش‌های جغرافیایی، ۴۲، ۷۲، ۹۱-۱۰۹.

علوی نیا، ح. و زارعی، م.، ۱۳۹۹، واکاوی روند تغییرات فرین‌های دما تحت تأثیر سناریوهای آینده به‌منظور ارزیابی نوسانات اقلیمی (مطالعه‌ی موردی: ایستگاه‌های همدیدی سندج و سقز)، فصلنامه مطالعات جغرافیایی مناطق خشک، ۱۱(۴۱)، ۱-۱۶.

Winton, M., Wittenberg, A. and Zeng, F., 2011, The dynamical core, physical parameterizations, and basic simulation characteristics of the atmospheric component AM3 of the GFDL global coupled model CM3, *J. Clim.*, 24(13), 3484-3519, <https://doi.org/10.1175/2011jcli3955.1>.

Karimi, M. and Nabizadeh, A, 2018, Assessment of climate change impacts on climate parameters of Urmia Lake basin during 2011-2040 years by using LARS-WG model, *Journal of Geography and Planing*, 22(65), <https://www.sid.ir/en/journal/ViewPaper.aspx?id=755851>.

Mohammadzadeh, N., Amiri, B. J., Endergoli, L. E. and Karimi, S., 2019, Coupling Tank Model and Lars-Weather Generator in Assessments of the Impacts of Climate Change on Water Resources, *Slovak Journal of Civil Engineering*, 27(1), 14-24.

Sha, J., Li, X. and Wang, Z. L., 2019, Estimation of future climate change in cold weather areas with the LARS-WG model under CMIP5 scenarios, *Theoretical and Applied Climatology*, 137(3-4), 3027-3039.

Shagega, F. P., Munishi, S. E. and Kongo, V. M., 2019, Prediction of future climate in Ngerengere river catchment, Tanzania, *Physics and Chemistry of the Earth, Parts A/B/C*. 112. 200-209.

Vallam, P. and Qin, X. S., 2018, Projecting future precipitation and temperature at sites with diverse climate through multiple statistical downscaling schemes, *Theoretical and Applied Climatology*, 134(1-2), 669-688.

Watanabe, M., Suzuki, T., O'ishi, R., Komuro, Y., Watanabe, S., Emori, S., Takemura, T., Chikira, M., Ogura, T., Sekiguchi, M., Takata, K., Yamazaki, D., Yokohata, T., Nozawa, T., Hasumi, H. and Tatebe HKimoto, M., 2010, Improved climate simulation by MIROC5: mean states, variability, and climate sensitivity, *J. Clim.*, 23, 6312-6335, <https://doi.org/10.1175/2010jcli3679.1>.

Zanchettin, D., Rubino, A., Matei, D., Bothe, O. and Jungclaus, J., 2013, Multidecadal-to-

centennial SST variability in the MPI-ESM simulation ensemble for the last millennium, *Clim. Dyn.*, 40, 1301–1318, <https://doi.org/10.1007/s00382-012-1361-9>.

Prediction of temperature and precipitation in the statistical period 2021-2080 in Hormozgan province for drought extraction and its downscaling by LARS-WG software

Roohollah Nejad, M.¹, Salamati Hormozi, V.², Ramezani, R.³ and Khansalari, S.^{4*}

1. Expert, Hormozgan province Meteorological Administration, Bandar Abbas, Iran

2. Head of Atmospheric observation and Warning Network, Hormozgan province Meteorological Administration, Bandar Abbas, Iran

3. Head of Applied Meteorological Research Group, Hormozgan province Meteorological Administration, Bandar Abbas, Iran

4. Assistant Professor, Atmospheric Sciences and Meteorological Research Center (ASMERC), Tehran, Iran

(Received: 24 Nov 2021, Accepted: 4 Oct 2022)

Summary

Precipitation is one of the most important meteorological quantities that its decrease compared to normal amounts in a period of time causes drought. In this study, statistical microscale methods were used to project and simulate climatic quantities to determine future drought indices of Hormozgan province using the LARS-WG model. For this study, climatic data of synoptic stations of Hormozgan province as well as 5 models of general atmospheric circulation including CanESM2, HadGEM-ES2, MPI-ESM-MR, GFDL-CM3 and MIROC5 with RCP2.6, RCP4.5 and RCP8.5 scenarios were used. The capability of the fifth report models was evaluated using coefficient of determination, mean square error (MSE) and Root-Mean-Square Error (RMSE). The results of evaluating the data generated in the LARS-WG model with climatic data showed that the highest coefficients of determination were related to the parameters of minimum and maximum temperatures (99%) and precipitation (94%), respectively. The results of studies of changes in climate parameters with the models of the fifth report in all periods indicate an increase in minimum and maximum temperatures in all these models in different climatic scenarios in future periods, and as we move away from the base period 2040-2021, the rate of temperature changes increases. The rate of increase in minimum temperature in most models is higher than the annual maximum temperature over the next 20 to 80 years and indicates that the increase in temperature in Hormozgan province will be more affected by the increase in minimum temperature. Examination of the results of different climatic scenarios shows that according to the optimistic scenario, precipitation changes in Hormozgan province are increasing and this increase in precipitation in the east and northeast will be more than the base period. Accordingly, the largest increase will occur in the period 2060-2041, which will be greater in the east and northeast (especially the city of Rudan). In this scenario, the least amount of rainfall occurs in the central areas and islands and part of the west of the province. According to the optimistic and moderate scenarios, precipitation changes in Hormozgan province are increasing and this increase in precipitation in the east and northeast is more than that of the base period. Also in the center and north of the province the precipitation will be less. The highest increase in precipitation in the period 2060-2041 by 4-64 mm varies in the stations of the province and this increase is in the east and northeast (Rudan city) by 64 mm. In this scenario, the least amount of rain will occur in the central and northern areas and part of the west of the province in Parsian city. According to the pessimistic scenario, the precipitation changes in Hormozgan province are increasing and this increase in precipitation in the east and northeast will be more than that of the base period. Accordingly, the highest rain increase in the period 2080-2061 is 13-90 mm in the stations of the province and this increase is 90 mm in the east and northeast (Rudan city). In this scenario, the least amount of rain will occur in Bandar Khamir city and the islands and part of the west of the province. In this scenario, the amount of rainfall in Bastak city increases significantly. In general, most of the models show an increase in rainfall in all three periods, so that the average of all models in each of the three scenarios of increased rainfall, especially in the east and north of Hormozgan province (highlands). In most meteorological stations of Hormozgan province, the highest increase in rainfall is predicted by CanESM2 model with RCP8.5 scenario and in the period 2080-2061.

Keywords: Drought, Climatic scenarios, LARS-WG6 software, Hormozgan province, model of general atmospheric circulation.

* Corresponding author:

Khansalari@yahoo.com